

са на нефиз. листе при  $\mathcal{E} = \mathcal{E}_0 - i\Gamma/2$  (см. *Матрица рассеяния*). Предположения о наличии такой особенности вместе с условием унитарности оказывается достаточным для получения Б.—В. ф., причём наличие особенности в одном из каналов автоматически приводит к такой же особенности во всех связанных с ним каналах.

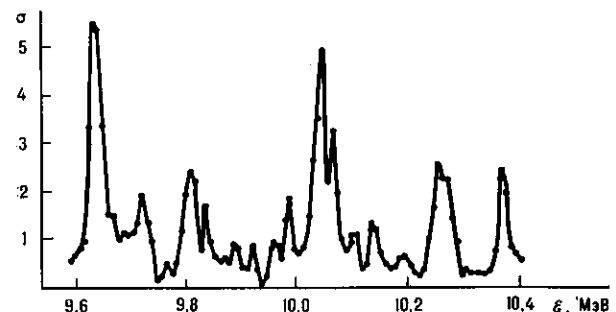


Рис. 3. Эриксоновские флуктуации в ходе сечения  $\sigma$  в реакции  $^{35}\text{Cl}(p, \alpha)^{32}\text{S}$ .

лах. Тот факт, что полюс амплитуды рассеяния расположен на нефиз. листе, выражается в непостоянстве  $\Gamma$ . Амплитуда реакции, соответствующая Б.—В. ф., имеет вид (для орбитального квантового числа  $l=0$ ):

$$f_{if} = \frac{1}{V k_i k_f} \frac{\sqrt{\Gamma_i/2} \sqrt{\Gamma_f/2}}{\mathcal{E} - \mathcal{E}_0 + i\Gamma/2}. \quad (3)$$

Здесь  $k_i, k_f$  — импульсы относит. движения частиц в каналах  $i$  и  $f$ . Разбиение числителя в (3) на множители, соответствующие разным каналам, отвечает процессу столкновения, происходящему в 2 стадии: образования составного ядра в определ. квазистационарном состоянии и его распада по тому или иному каналу.

В случае упругого рассеяния следует учитывать нерезонансный фон, называемый обычно потенциальным рассеянием. Если резонанс осуществляется в волне с орбитальным моментом  $l$ , то амплитуда упругого рассеяния

$$f_{ii} = f_{ii}^{(0)}(\theta) - \frac{2l+1}{k_i} \times \\ \times \frac{(\Gamma_i/2) e^{2i\delta_l^0}}{\mathcal{E} - \mathcal{E}_0 + i\Gamma/2} P_l(\cos \theta). \quad (4)$$

Здесь  $f_{ii}^{(0)}$  — амплитуда потенциального рассеяния,  $\delta_l^0$  — фаза потенциального рассеяния,  $\theta$  — угол рассеяния,  $P_l$  — полином Лежандра.

Б.—В. ф., являющаяся одним из первых количественных результатов теоретич. ядерной физики, сыграла важную роль в развитии ядерной физики и физики элементарных частиц. В ядерной физике она применяется во всех случаях, когда уровни составного ядра не перекрываются [1, 2].

При исследовании элементарных частиц — резонансов их наиб. строгим определением является наличие брейт-вигнеровской особенности в амплитуде рассеяния в состоянии с определ. значениями полного момента, чётности, изоспина и др. квантовых чисел. Непосредств. применение Б.—В. ф. при анализе взаимодействий элементарных частиц, как правило, затруднено из-за нерезонансного фона и большой ширины резонансов. В таких случаях наличие резонансов определяется по петлям на т. н. диаграмме Аргана [3].

Б.—В. ф. может быть обобщена на случай перекрывающихся уровней [4, 5]. В этом случае полная ширина уровня  $\Gamma \neq \sum \Gamma_j$ . На этом пути получено описание т. н. в ходных состояний, отвечающих широкому резонансу на фоне множества узких [5]. Если ширина  $\Gamma$  гораздо больше, чем расстояние между соседними уровнями, то в энергетич. и угловой зависимости сечений ядерной реакции возникает тонкая структура перезонансного типа (эриксоновские флюктуации), рис. 3). Их исследование даёт информацию о сп. ширине  $\Gamma$  перекрывающихся уровней [6].

*Lit.:* 1) Ландау Л. Д., Лишин Е. М., Квантовая механика, 3 изд., М., 1974; 2) Ядерные реакции, пер. с англ., т. 1, М., 1962, гл. 5—6; 3) Никитин Ф., Фазовый анализ в физике ядерных взаимодействий, пер. с рум., М., 1983; 4) Кобзарев И. Ю., Теория перекрывающихся резонансов, М., 1971; 5) Шапиро И. С., Перекрывающиеся уровни гигантские резонансы, в сб.: Проблемы современной ядерной физики, М., 1971; 6) Эриксон Т., Майер-Кук Т., Флюктуации в ядерных реакциях, «УФИ», 1967, т. 92, с. 271.

В. М. Нельбасов.

**БРИЛЛЮЭНА ЗОНА** — ячейка обратной решётки кристалла, содержащая все трансляционно-искальвленные точки. Поскольку состояния квазичастиц твёрдого тела, в к-рых значения квазимоментов  $\mathbf{p}$  отличаются на один из векторов трансляции обратной

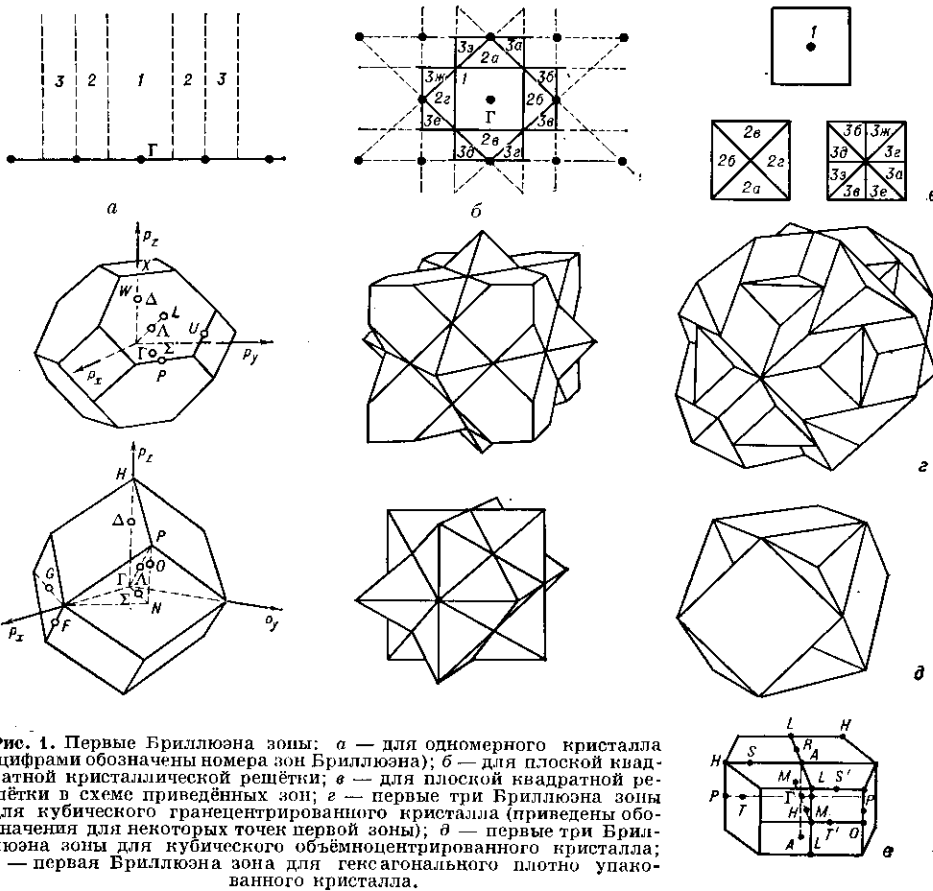


Рис. 1. Первые Бриллюэна зоны: **а** — для одномерного кристалла (цифрами обозначены номера зон Бриллюэна); **б** — для плоской квадратной кристаллической решётки; **в** — для плоской квадратной решётки в схеме приведённых зон; **г** — первые три Бриллюэна зоны для кубического гранецентрированного кристалла (приведены обозначения для некоторых точек первой зоны); **д** — первые три Бриллюэна зоны для кубического объёмноцентрированного кристалла; **е** — первая Бриллюэна зона для гексагонального плотноупакованного кристалла.